

### (30) 積分方程式法による不均一弾性体の動的解析

京都大学工学部 正 小林昭一  
京都大学工学部 正 西井直志

#### 1 序

本研究は、積分方程式法による積分変換型の非定常動弾性解析法、及び2, 3の数値例を示したものである。積分方程式法は地盤等の無限乃至半無限領域での解析に用いた場合、仮想の有限境界からの反射波の影響を受ける事があり得ず、地震波動の解析に適している。定式化としては、積分変換型、Retarded Potential型の2通りが考えられるが、ここでは前者をとり、数値解析上の問題点について論ずる。特に、トンネル等の地下構造物の応答解析を想定し、不均一弾性体(二相物体)の外部問題を考察する。

#### 2 定式化

図1に示す様な二相弾性体を考える。よく知られている様に、各物理量に  $\frac{1}{2\pi} \int_{-\infty}^{\infty} e^{i\omega t} dt$  ( $t$ : 時間)型の Fourier 変換を施せば、問題は  $e^{i\omega t}$  型の定常動弾性問題となる。そこで変位の F 変換を Green 公式を用いて(簡単のために「静止した過去」を假定。以下「F 変換」を省略。)

$$U = \int_S T_e u dS - \int_S U_e t dS + U_i \quad \text{in } D_e \quad ①$$

$$U = \int_S U_i t dS - \int_S T_i u dS + \int_{S_0} T_i v dS - \int_{S_0} U_i b dS \quad ②$$

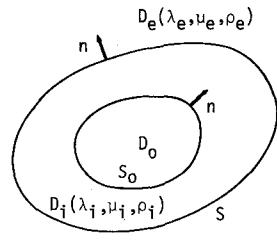


図1

と表示する。ここで  $U_e(t)$ ,  $T_e(t)$  は、 $D_e$  に於ける一重層、二重層の値であり、2次元の場合

$$U_{e(i)}(x, y) = \frac{i}{4\pi k_{e(i)}} \left[ H_0^{(1)}(k_{e(i)} r) \mathbf{1} + \frac{1}{k_{e(i)}^2} \nabla \nabla \{ H_0^{(1)}(k_{e(i)} r) - H_0^{(1)}(k_{L_{e(i)}} r) \} \right]$$

$$T_{e(i)}(x, y) = U_{e(i)}(x, y) T_{e(i)y}, \quad T_{e(i)y} U(y) = \lambda_{e(i)} n \nabla_y \cdot U(y) + \mu_{e(i)} \left( \frac{\partial U(y)}{\partial n} + P_y U(y) \cdot n \right) \quad ③$$

$$k_{e(i)}, k_{L_{e(i)}}; \text{波数}, \quad r = |x - y|$$

である。また、 $u$ ,  $t$  ( $v$ ,  $b$ ) は  $S$  ( $S_0$ ) 上の変位及び表面力であり、 $U_i$  は入射波である。式① (②) は、 $u$ ,  $t$  ( $u$ ,  $t$ ,  $v$ ,  $b$ ) が真の境界値の場合、 $D_e$  で 0 になる事を考慮すれば、次の積分方程式を得る。

$$0 = C_e^i u + \int_S T_e u dS - \int_S U_e t dS + U_i \quad \text{on } S \quad ④$$

$$0 = \int_S U_i t dS - C_i^e u - \int_S T_i u dS + \int_{S_0} T_i v dS - \int_{S_0} U_i b dS \quad \text{on } S \quad ⑤$$

$$0 = \int_S U_i t dS - \int_S T_i u dS + C_i^e v + \int_{S_0} T_i v dS - \int_{S_0} U_i b dS \quad \text{on } S. \quad ⑥$$

を得る。ここに  $C_e^i$  等は二重層ポテンシャル  $\int_S T_e u dS$  の内部極限の Free term 等であり、滑面の場合  $C_e^e = 1/2$ ,  $C_e^i = -1/2$  である。また  $t$  は主値積分である。積分方程式④～⑥は、 $S$ ,  $S_0$  を結合する曲面  $S'$ ,  $S'_0$  に近似し、その上に代表点  $g_i$ , 及び形状関数  $\Omega_i$  ( $\Omega_i g_j = 1$  ( $i=j$ ),  $=0$  ( $i \neq j$ )) を取って離散化され、数値的に解く事が可能になる。

### 3 散值解析上の問題点

2 述べた方法を用いる場合いくつかの問題が生ずる。以下、それらの解決策について述べる。

1) 散值積分について： 式④～⑥に現われる積分のうち、特異積分は、外部、内部座標の別に応じて各々

$$0 = \int_S U t_p dS - C^e u - f T u_p dS, \quad 0 = C^i u_p + \int_{S(i)} T u_p dS - \int_{S(i)} U t_p dS \quad ⑦$$

を用いて評価すればよい。ここに  $u_p$ ,  $t_p$  は平面波、及び対応する表面力である。他の積分は高々可積分のオーダーである。

2) 境界応力について： 境界応力を精度よく求めるためには、境界要素としてアイソパラメトリック (IP) 要素を用い、要素のパラメータを曲面の局所座標とみて共変偏微分すればよい。特に 2 次元では簡単になり、

$$T_{\alpha\beta} = \frac{4\mu(\lambda+\mu)}{(\lambda+2\mu)\alpha} \frac{\partial u_\alpha}{\partial \xi} \frac{\partial \chi_\alpha}{\partial \xi} + \frac{\lambda n_\alpha t_\alpha}{\lambda+2\mu}, \quad T_{\alpha\beta} = \frac{1}{\sqrt{2}} t_\alpha \frac{\partial \chi_\alpha}{\partial \xi}$$

$$T_{mn} = n_\alpha t_\alpha, \quad \alpha = \frac{\partial \chi_\alpha}{\partial \xi} \frac{\partial \chi_\alpha}{\partial \xi} \quad ⑧$$

となる。ここに  $\chi_\alpha$  は要素のパラメータ、 $\chi_\alpha = \chi_\alpha(\xi)$  は境界形状のパラメータ表示、 $n_\alpha$  は法線である。変位 ( $u$ )、表面力 ( $t_\alpha$ ) 等は、cartesian 座標成分でよい。

3) 基本解だけに落ちこむこと： 式①～⑥の  $U_{e(i)}$ ,  $T_{e(i)}$  の積分は、IP 要素を用いる限り、散值積分によらざるを得ない。この場合、式③、の形からも明らかなる様に、特に小さい  $\alpha$  の場合、 $\{\cdot\}$  内の項のためにけた落ちが生ずる。それゆえ、少なくとも小さいアーギュメントに対しては Hankel 関数を級数展開し、不都合な項を除かねばならない。また、それだけの操作だけで落ちは完全に防止できる。低周波数域に於いては、SPL 等の標準的プログラムによる Hankel 関数の計算を行ってよい。

4) 境界の分割： 2 次の IP 要素を用いた場合、境界応力を含めて高精度の解析を行なうには、S 波 / 波長 4 エлемент程度用いれば十分である。

5) 見かけ上の固有値現象について<sup>4)</sup>： 2 で扱った問題の解は一意である事を示せるが、対応する積分方程式④～⑥は必ずしも一意解を有するとは限らない。実際、方程式④～⑥の解  $u_i$ ,  $t_i$ ,  $V_i$ ,  $\lambda_i$  が真の境界値であるためには、式の(②)が  $D_{e(i)}^c \neq 0$  になる事が必要十分であるが、一方、④～⑥は、式の(②)が  $\partial D_{e(i)}^c \neq 0$  になる事を示していいにすぎない。それゆえ、

- (i) 振動数  $\omega$  が、 $D_e^c$  の中に  $D_e$  と同じ物理を満たして得られる物体の変位境界値問題の固有値に等しいとき、
  - (ii) 振動数  $\omega$  が、 $D_e$  の中に  $D_e$  と同じ物理を満たして得られる物体の変位境界値問題の固有値に等しいとき、
- には、式④～⑥の解の一意性が成立しなくなる事が予想される。実際、方程式④～⑥に対する首次方程式の非自明解を具体的に書き下す事ができ<sup>4)</sup>。これらの振動数は確かに式④～⑥の一意性を成立させない。この様な現象を見かけの固有値現象といふ。この様な現象は純粹に数学的なものであつて、一切物理的意義を有せず、散值解析においては精度の悪化要因であるので注意せねばならない。従来から一度の音響物理中の波について、この様な現象への対策がいくつか発表されてゐるが<sup>1)</sup>、散值的には必ずしも十分ではなく、むしろその様な周波数に対する解析は避け、必要な場合には補間で評価するのが良いと考えられる。実際、实用上、非定常解析にはさほど高周波成分を要しない事も多く、そのため見かけ上の固有値の分布はごく疎である事、見かけ上の固有値にかなり近い周波数に於いても式④～⑥の精度はさほど落ちない事、式④～⑥の散值的取扱いの容易さなどからの判断である。

見かけ上の固有値を検出するためには、少なくとも応力境界値問題<sup>2)</sup>は次の様にすればよい。まず、得られる係數行列を

$$x_i \in S \left( \begin{array}{c|c} \left[ \left( \int_S T_{e(i)}(x_i, y) \Omega_j(y) dS \right)^{-1} \right] & 0 \\ \hline - \int_S U_{e(i)}(x_i, y) \Omega_m(y) dS & \left( \int_U u(x_i) \right) \end{array} \right)$$

$$\begin{aligned} \chi_k \in S_0 & \left( \begin{array}{c} - \int_S T_i(x_k, y) \Omega_j(y) dy \\ \left[ \int_{S_0} T_i(x_k, y) \Omega_\ell(y) dy \right] \end{array} \right) \left( \begin{array}{c} \int_S U_i(x_k, y) \Omega_n(y) dy \\ \int_S U_i(x_k, y) \Omega_\ell(y) dy \end{array} \right) \left( \begin{array}{c} V(x_k) \\ t(x_k) \end{array} \right) \\ \chi_m \in S & \left( \begin{array}{c} \left[ \int_S T_i(x_m, y) \Omega_j(y) dy \right]^+ \\ \left[ \int_{S_0} T_i(x_m, y) \Omega_\ell(y) dy \right] \end{array} \right) \left( \begin{array}{c} \int_S U_i(x_m, y) \Omega_n(y) dy \\ \int_S U_i(x_m, y) \Omega_\ell(y) dy \end{array} \right) \left( \begin{array}{c} V(x_m) \\ t(x_m) \end{array} \right) \end{aligned} \quad (7)$$

の様に並べる。ここで  $\pm^{(+/-)}$  は外(内)部極限である。一般に、見かけ上の固有値でない  $\omega$  に対しては、(7)の行列はピボッティングなしでしり分解ができる。その結果、四角で囲んだ部分の(Crout法であれば)  $L$  の対角項の絶対値の最小値は、 $\omega$  によらずほぼ一定となる。一方、見かけの固有値においては、この値が非常に小さくなる。この事に注意すれば、誤って見かけ上の固有値の影響を受けた解を探る事は防止できる。表1に同心円状の二相物体 ( $E_1 p_e / E_2 p_i = E_1 / E_2 = 2/3$ ,  $E$ : Young率,  $v_e = 1/6$ ,  $v_i = 1/4$ , 外径( $a$ ) / 内径( $b$ ) = 1.2) についての適用例を示した。

以上の諸点に注意すれば、良好な精度で非定常解析を行なう事ができる。

#### 4 数値解析例

上述の手法の適用例を以下に示す。まず溝底の  $check$  として一相の弾性体中の内孔に定常平面  $P$ ,  $\theta$  線が入射した場合の周応力を図2, 3にそれぞれ示した。ホアソン比は各々  $0.26$ ,  $0.25$  である。これらの結果は Pao<sup>5)</sup> 及び Mow & Monte<sup>6)</sup> の結果とよく一致している。

次に図4に示すようなステップ波に対する応答計算を行なった。数値F変換にはFFT法を用いた。また図4に於けることは十分に大きくとり、立ち上り部の結果を既存の解と比較して図5, 6に示した。図5, 6は、各々ホアソン比  $1/4$  の場合の平面  $P$  波に対する内孔上  $\theta = \pi/2, \pi/4$  の周応力、および同上での  $\theta$  方向変位である。いずれも Garnet & Gouyet-Pascal<sup>7)</sup> の結果とよく一致している。図6は、平面  $P$  波応答を求めたもので、ホアソン比は  $1/4$  である。藤木が Retarded Potential を用いて求めた結果とよく一致している。図7, 8はトンネルのステップ波応答を

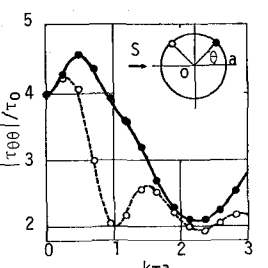
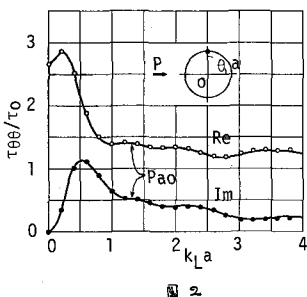


図3: 種: Mow & Monte<sup>6)</sup>

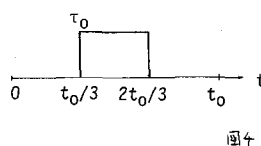
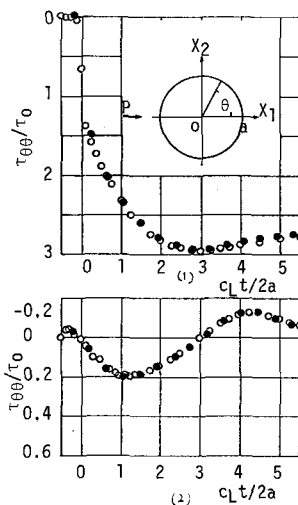
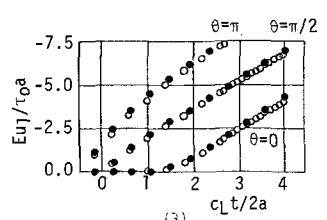


図4



(1) (2)



(1) (2)

図5: ● BIE, ○ Garnet & Gouyet-Pascal<sup>7)</sup>

求めたものである。 $(Y\text{oung}\text{率比 } E_i/E_e = 5, V_e = 1/4, V_i = 1/6, \rho_e = \rho_i)$  また、図8は地下発電所等に見

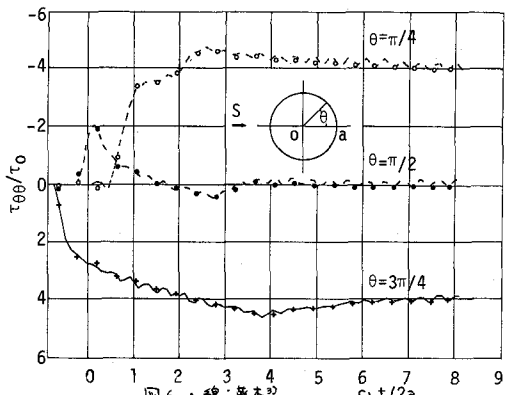
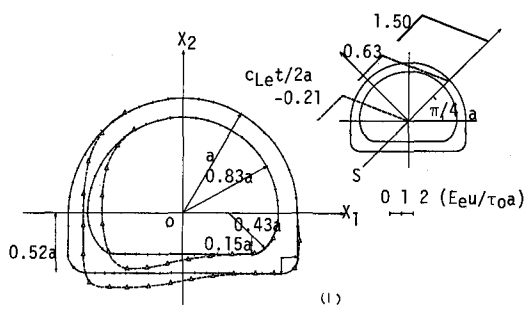


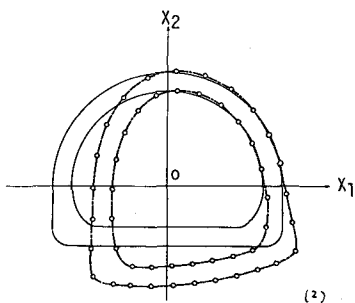
図6, 線: 藤木<sup>3)</sup>

られる空洞形状のS波応答を求めたものである。

- 文献 1) Shaw, R.P.; Chapt. 6 In "Development in Boundary Element Methods- 1", (Ed. R.K. Banerjee et al.), Appl. Sci. Publ. 1978. 2) 東; 京大修論, 1975.  
 3) 藤木; 京大修論, 1980. 4) 小林, 西村; 56年関西支部講習会集, 1981. 5) Pao, Y.-S.; J. Appl. Mech., Vol. 29, 1962.  
 6) Mow, C.-C. & L.J. Mente; J. Appl. Mech., Vol. 30, 1963.  
 7) Garnet, H. & J. Crouzet-Pascal; J. Appl. Mech., Vol. 33, 1966



(1)



(2)

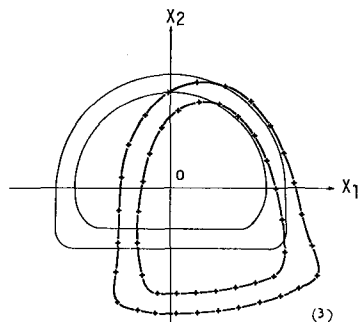


図7

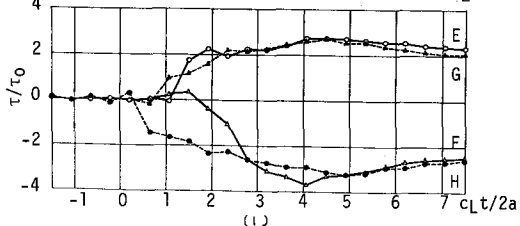
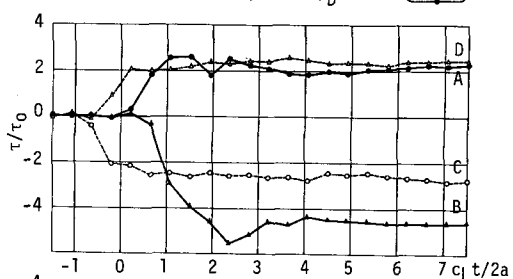
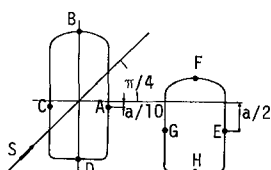
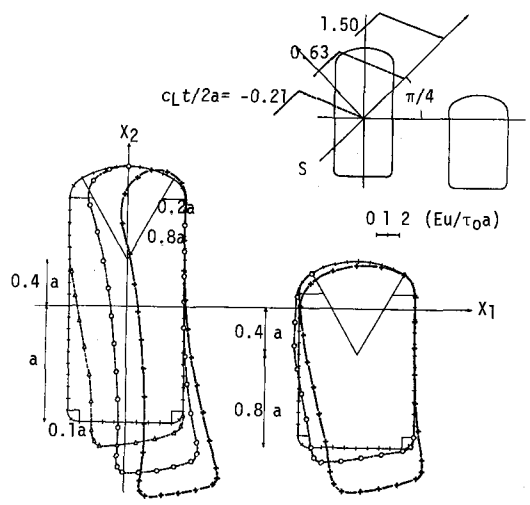


図8, (1)応力, (2)変形



(2)